

**РОСЖЕЛДОР**

**Федеральное государственное бюджетное образовательное учреждение  
высшего профессионального образования  
«Ростовский государственный университет путей сообщения»  
(ФГБОУ ВПО РГУПС)**

---

Т.В. Суворова

**ЭЛЕМЕНТЫ ТЕОРИИ УПРУГОСТИ**

Учебно-методическое пособие  
к лабораторным работам

Часть 1

Ростов-на-Дону  
2015

УДК 539.3(06) + 07

Рецензент – доктор технических наук, профессор К.С. Ахвердиев

**Суворова, Т.В.**

Элементы теории упругости: учебно-методическое пособие к лабораторным работам. В 2 ч. Ч. I / Т.В. Суворова; ФГБОУ ВПО РГУПС. – Ростов н/Д, 2015. – 20 с.: ил. – Библиогр.: с. 20.

В учебно-методическом пособии приведены необходимые теоретические сведения по теории упругости, задания для выполнения лабораторных работ, примеры выполнения вариантов лабораторных работ, листинг программы, реализующей эти вычисления в интерактивной системе математики Maple.

Предназначено для студентов, обучающихся в магистратуре технических специальностей РГУПС.

Одобрено к изданию кафедрой «Высшая математика».

*Учебное издание*

**Суворова Татьяна Виссарионовна**

## **ЭЛЕМЕНТЫ ТЕОРИИ УПРУГОСТИ**

Часть 1

Печатается в авторской редакции

Технический редактор М.А. Гончаров

Подписано в печать 06.07.15. Формат 60×84/16.

Бумага газетная. Ризография. Усл. печ. л. 1,16.

Тираж экз. Изд. № 50108. Заказ .

Редакционно-издательский центр ФГБОУ ВПО РГУПС

---

Адрес университета: 344038, г. Ростов н/Д, пл. Ростовского Стрелкового Полка  
Народного Ополчения, 2.

© Суворова Т.В., 2015

© ФГБОУ ВПО РГУПС, 2015

## Оглавление

Введение .....	4
Основные формулы и уравнения теории упругости.....	4
Лабораторная работа № 1 .....	10
Методические указания к лабораторной работе № 1 .....	11
Выполнение лабораторной работы № 1 с помощью системы аналитических вычислений Maple.....	15
Лабораторная работа № 2 .....	18
Методические указания к выполнению лабораторной работы № 2 .....	19
Библиографический список.....	20

## Введение

Теория упругости – один из основных разделов механики деформируемого твёрдого тела, в котором изучается напряжённо-деформированное состояние тел при силовых и температурных воздействиях. Основы этой теории заложили математики и механики XIX века Коши, Лагранж, Навье, Пуассон, Сен-Венан, Кирхгоф, Бетти и др. Развиваемая главным образом математиками как раздел математической физики, теория упругости приобрела к 30 годам XX века практически классическую, неизменную форму, в которой позднее появились такие разделы, как теория пластичности, термоупругость, реология. В последнее время появление новых материалов, развитие ядерной физики, химии, нанотехнологий вызвало появление разделов теории упругости, изучающих поведение сред с усложненными свойствами. Разрабатываемые методы, используемые при расчётах прочности конструкций и проектировании инженерных сооружений, являются более тонкими, нежели сопромат, и позволяют решать значительно более сложные задачи.

### Основные формулы и уравнения теории упругости

В общем случае, когда напряженно-деформированное состояние зависит от трёх координат  $x, y, z$ , задача теории упругости называется трёхмерной или пространственной.

Деформированное состояние упругой изотропной среды, вектор перемещений которой  $\bar{u}(u, v, w) = \bar{u}(u_x, u_y, u_z)$  описывается симметричным тензором деформаций  $\varepsilon_{ij}$ :

$$T_\varepsilon = \begin{pmatrix} \varepsilon_{xx} & \varepsilon_{xy} & \varepsilon_{xz} \\ \varepsilon_{yx} & \varepsilon_{yy} & \varepsilon_{yz} \\ \varepsilon_{zx} & \varepsilon_{zy} & \varepsilon_{zz} \end{pmatrix}; \quad (1)$$
$$\varepsilon_{ij} = \frac{1}{2} \left( \frac{\partial u_i}{\partial x_j} + \frac{\partial u_j}{\partial x_i} \right).$$

Последние равенства носят названия равенств Коши.

Напряженное состояние упругой изотропной среды описывается симметричным тензором напряжений:

$$T_\sigma = \begin{pmatrix} \sigma_{xx} & \sigma_{xy} & \sigma_{xz} \\ \sigma_{yx} & \sigma_{yy} & \sigma_{yz} \\ \sigma_{zx} & \sigma_{zy} & \sigma_{zz} \end{pmatrix};$$

Статические уравнения равновесия Навье:

$$\begin{cases} \frac{\partial \sigma_x}{\partial x} + \frac{\partial \tau_{yx}}{\partial y} + \frac{\partial \tau_{zx}}{\partial z} + X = 0 \\ \frac{\partial \tau_{xy}}{\partial x} + \frac{\partial \sigma_y}{\partial y} + \frac{\partial \tau_{zy}}{\partial z} + Y = 0 \\ \frac{\partial \tau_{xz}}{\partial x} + \frac{\partial \tau_{yz}}{\partial y} + \frac{\partial \sigma_z}{\partial z} + Z = 0 \end{cases} \quad (2)$$

Здесь и далее  $\varepsilon_i = \varepsilon_{ii}$   $\sigma_i = \sigma_{ii}$ ,  $X$ ,  $Y$ ,  $Z$  – проекция массовых сил на оси координат.

На взаимно перпендикулярных площадках выполняется закон парности касательных напряжений:

$$\begin{cases} \tau_{xy} = \tau_{yx} \\ \tau_{xz} = \tau_{zx} \\ \tau_{yz} = \tau_{zy} \end{cases}, \quad (3)$$

Уравнения совместности деформаций, или уравнения Сен-Венана:

$$\begin{aligned} \frac{\partial^2 \varepsilon_x}{\partial y^2} + \frac{\partial^2 \varepsilon_y}{\partial x^2} &= \frac{\partial^2 \gamma_{xy}}{\partial x \partial y}, \\ \frac{\partial^2 \varepsilon_z}{\partial x^2} + \frac{\partial^2 \varepsilon_x}{\partial z^2} &= \frac{\partial^2 \gamma_{zx}}{\partial z \partial x}, \\ \frac{\partial^2 \varepsilon_y}{\partial z^2} + \frac{\partial^2 \varepsilon_z}{\partial y^2} &= \frac{\partial^2 \gamma_{yz}}{\partial y \partial z}, \\ \frac{\partial}{\partial x} \left( \frac{\partial \gamma_{zx}}{\partial y} + \frac{\partial \gamma_{xy}}{\partial z} - \frac{\partial \gamma_{yz}}{\partial x} \right) &= 2 \frac{\partial \varepsilon_x}{\partial y \partial z}, \\ \frac{\partial}{\partial y} \left( \frac{\partial \gamma_{xy}}{\partial z} + \frac{\partial \gamma_{yz}}{\partial x} - \frac{\partial \gamma_{zx}}{\partial y} \right) &= 2 \frac{\partial \varepsilon_y}{\partial x \partial z}, \\ \frac{\partial}{\partial z} \left( \frac{\partial \gamma_{yz}}{\partial x} + \frac{\partial \gamma_{zx}}{\partial y} - \frac{\partial \gamma_{xy}}{\partial z} \right) &= 2 \frac{\partial \varepsilon_z}{\partial x \partial y}, \\ \gamma_{ij} &= 2\varepsilon_{ij}. \end{aligned} \quad (4)$$

Обобщенный закон Гука:

$$\begin{aligned} \varepsilon_x &= \frac{1}{E} [\sigma_x - \nu(\sigma_y + \sigma_z)], \\ \varepsilon_y &= \frac{1}{E} [\sigma_y - \nu(\sigma_x + \sigma_z)], \\ \varepsilon_z &= \frac{1}{E} [\sigma_z - \nu(\sigma_x + \sigma_y)]. \end{aligned}$$

$$\gamma_{xy} = \frac{\tau_{xy}}{G}, \quad \gamma_{yz} = \frac{\tau_{yz}}{G}, \quad \gamma_{zx} = \frac{\tau_{zx}}{G}. \quad (5)$$

Обратная форма обобщенного закона Гука запишется в виде:

$$\begin{aligned} \sigma_x &= \lambda\theta + 2\mu\varepsilon_x, \\ \sigma_y &= \lambda\theta + 2\mu\varepsilon_y, \\ \sigma_z &= \lambda\theta + 2\mu\varepsilon_z, \\ \tau_{xy} &= \mu\gamma_{xy}, \quad \tau_{yz} = \mu\gamma_{yz}, \quad \tau_{zx} = \mu\gamma_{zx}, \\ \theta &= \varepsilon_x + \varepsilon_y + \varepsilon_z. \end{aligned} \quad (6)$$

Здесь  $E, G$  модуль Юнга и модуль сдвига,  $\nu$  – коэффициент Пуассона.

$$G = \frac{E}{2(1+\nu)},$$

$\theta$  – объемная деформация.

Из уравнений равновесия (2), обобщенного закона Гука (5) и (1) можно получить уравнения Ламе в перемещениях:

$$\begin{aligned} (\lambda + \mu) \frac{\partial \theta}{\partial x} + \mu \nabla^2 U + X &= 0 \\ (\lambda + \mu) \frac{\partial \theta}{\partial y} + \mu \nabla^2 V + Y &= 0 \\ (\lambda + \mu) \frac{\partial \theta}{\partial z} + \mu \nabla^2 W + Z &= 0 \\ \lambda &= \frac{E\nu}{(1-2\nu)(1+\nu)}, \end{aligned} \quad (7)$$

$\mu = G$  – параметры Ламе,

$\nabla^2 \dots = \frac{\partial^2 \dots}{\partial x^2} + \frac{\partial^2 \dots}{\partial y^2} + \frac{\partial^2 \dots}{\partial z^2}$  – дифференциальный оператор Лапласа.

Выбирая в качестве основных неизвестных напряжения  $\sigma_x, \sigma_y, \tau_{zx}$  можно вывести группу разрешающих уравнений, носящих название Бельтрами-Митчела:

$$\begin{aligned} (1+\nu) \nabla^2 \sigma_x + \frac{\partial^2 I_1}{\partial x^2} &= 0, \\ (1+\nu) \nabla^2 \sigma_y + \frac{\partial^2 I_1}{\partial y^2} &= 0, \\ (1+\nu) \nabla^2 \sigma_z + \frac{\partial^2 I_1}{\partial z^2} &= 0, \\ (1+\nu) \nabla^2 \tau_{xy} + \frac{\partial^2 I_1}{\partial x \partial y} &= 0, \end{aligned}$$

$$\begin{aligned}
(1+\nu)\nabla^2\tau_{yz} + \frac{\partial^2 I_1}{\partial y\partial z} &= 0, \\
(1+\nu)\nabla^2\tau_{zx} + \frac{\partial^2 I_1}{\partial x\partial z} &= 0 \\
I_1 &= \sigma_x + \sigma_y + \sigma_z
\end{aligned} \tag{8}$$

Рассмотрим задачи теории упругости в плоской постановке, это более простая зависимость перемещений только от двух координат. При этом могут быть рассмотрены два случая: плоская деформация и обобщенное плоское деформированное состояние. Обе постановки задач сводятся к одинаковым типам разрешающих уравнений.

В случае плоской деформации перемещения всех точек тела параллельны одной плоскости, например,  $XoY$ . Вектор перемещений имеет две компоненты, отличных от нуля и зависящих от двух переменных:

$$u = u(x, y); v = v(x, y), w \equiv 0;$$

Деформации в направлении оси  $z$  отсутствуют:  $\varepsilon_z = 0$ .

Тензор напряжений принимает вид:

$$T_\sigma = \begin{pmatrix} \sigma_x & \tau_{xy} & 0 \\ \tau_{yx} & \sigma_y & 0 \\ 0 & 0 & \sigma_z^0 \end{pmatrix}$$

Тензор деформаций:

$$T_\varepsilon = \begin{pmatrix} \varepsilon_x & \varepsilon_{xy} & 0 \\ \varepsilon_{yx} & \varepsilon_y & 0 \\ 0 & 0 & 0 \end{pmatrix}$$

Из 15-и неизвестных остаётся лишь 8:  $\sigma_x, \sigma_y, \tau_{xy}, \varepsilon_x, \varepsilon_y, u, v$

Для их определения имеются 8 основных уравнений:

Дифференциальные уравнения равновесия:

$$\begin{aligned}
\frac{\partial \sigma_x}{\partial x} + \frac{\partial \tau_{yx}}{\partial y} + X &= 0, \\
\frac{\partial \tau_{xy}}{\partial x} + \frac{\partial \sigma_y}{\partial y} + Y &= 0.
\end{aligned} \tag{9}$$

Геометрические уравнения Коши:

$$\begin{aligned}
\varepsilon_x &= \frac{\partial u}{\partial x}, \varepsilon_y = \frac{\partial v}{\partial y} \\
\gamma_{xy} &= \frac{\partial u}{\partial y} + \frac{\partial v}{\partial x}.
\end{aligned} \tag{10}$$

Условие совместности деформаций:

$$\frac{\partial^2 \varepsilon_x}{\partial y^2} + \frac{\partial^2 \varepsilon_y}{\partial x^2} = \frac{\partial^2 \gamma_{xy}}{\partial x \partial y}.$$

Уравнения прямой формы закона Гука:

$$\begin{aligned} \varepsilon_x &= \frac{1}{E_1} [\sigma_x - \nu_1 \sigma_y]; \\ \varepsilon_y &= \frac{1}{E_1} [\sigma_y - \nu_1 \sigma_x]; \\ \varepsilon_z &= \frac{1}{E_1} [\sigma_z - \nu_1 \sigma_x - \nu_1 \sigma_y] \end{aligned} \quad (11)$$

где  $E_1 = \frac{E}{1-\nu^2}$ , а  $\nu_1 = \frac{\nu}{1-\nu}$ .

Таким образом, для определения восьми неизвестных имеется группа из 8-и основных уравнений (равновесия, геометрические, физические) и дополнительных (на поверхности, совместности деформаций), причём в физические уравнения введены иные физические постоянные  $E_1, \nu_1$ .

Рассмотрим обобщённое плоское напряжённое состояние. Плоским напряжённым состоянием называется такое состояние тела, при котором напряжения по всем элементарным площадкам, параллельным одной из координатных плоскостей, например,  $XoY$ , равны нулю  $\sigma_z = \tau_{zx} = \tau_{zy}$ , а напряжённое состояние во всех точках, лежащих на нормали к этой плоскости одинаково. При этом все величины будут зависеть лишь от двух координат  $x$  и  $y$ .

При этом, из третьего уравнения прямой формы закона Гука:

$$\varepsilon_z = \frac{1}{E} [\sigma_z - \nu(\sigma_x + \sigma_y)] = -\frac{\nu}{E} (\sigma_x + \sigma_y) = \varepsilon_z^0$$

Тензор напряжений имеет вид:

$$T_\sigma = \begin{pmatrix} \sigma_x & \tau_{xy} & 0 \\ \tau_{yx} & \sigma_y & 0 \\ 0 & 0 & 0 \end{pmatrix}$$

Тензор деформаций имеет вид:

$$T_\varepsilon = \begin{pmatrix} \varepsilon_x & \frac{1}{2} \gamma_{xy} & 0 \\ \frac{1}{2} \gamma_{yx} & \varepsilon_y & 0 \\ 0 & 0 & \varepsilon_z^0 \end{pmatrix}$$

Вектор перемещений не зависит от координаты  $z$ .

Для определения восьми неизвестных задачи  $\sigma_x, \sigma_y, \tau_{xy} = \tau_{yx}, \varepsilon_x, \varepsilon_y, \gamma_{xy} = \gamma_{yx}, u, v$ , имеется 8 основных уравнений.

Все уравнения, за исключением обобщенного закона Гука, как для плоской деформации, так и плоского напряжённого состояния, абсолютно одинаковы, а уравнения закона Гука имеют одинаковый вид и различаются лишь физическими постоянными:



Плоская деформация	Плоское напряжённое состояние
$\varepsilon_x = \frac{1}{E_1} [\sigma_x - \nu_1 \sigma_y]$	$\varepsilon_x = \frac{1}{E} [\sigma_x - \nu \sigma_y]$
$\varepsilon_y = \frac{1}{E_1} [\sigma_y - \nu_1 \sigma_x]$	$\varepsilon_y = \frac{1}{E} [\sigma_y - \nu \sigma_x]$

Предположим, что массовые силы, имеющие проекции на оси X и Y, постоянны по объёму тела, тогда их производные равны нулю.

Пусть функция  $\varphi = \varphi(x, y)$  выбирается так, что:

$$\begin{aligned}\sigma_x &= \frac{\partial^2 \varphi}{\partial y^2}; \\ \sigma_y &= \frac{\partial^2 \varphi}{\partial x^2}; \\ \tau_{xy} &= -\frac{\partial^2 \varphi}{\partial x \partial y};\end{aligned}\tag{12}$$

Можно доказать, что дифференциальные уравнения равновесия выполняются автоматически, если функция  $\varphi$  удовлетворяет уравнению  $\nabla^4 \varphi = 0$  и является функцией бигармонической.

Подобранная таким образом функция напряжения  $\varphi$  является решением плоской задачи теории упругости и называется функцией напряжений Эри.

При расчете прямоугольных элементов конструкций функцию напряжений Эри удобно назначать в виде целых полиномов, а затем устанавливать, для какого вида граничных условий пригодно задаваемое решение.

Главные напряжения можно найти по формулам:

$$\sigma_{\max, \min} = \frac{\sigma_x + \sigma_y}{2} \pm \sqrt{\left(\frac{\sigma_x - \sigma_y}{2}\right)^2 + \tau_{xy}^2}.\tag{13}$$

Угол наклона главных площадок определяется соотношением:

$$\operatorname{tg} 2\alpha = \frac{2\tau_{xy}}{\sigma_x - \sigma_y}.\tag{14}$$

Экстремальные касательные напряжения на площадках, параллельных оси Oz находятся как

$$\tau_{\max, \min} = \pm \sqrt{\left(\frac{\sigma_x - \sigma_y}{2}\right)^2 + \tau_{xy}^2} = \frac{\sigma_{\max} - \sigma_{\min}}{2}.$$

Главная площадка перпендикулярна площадке экстремальных касательных напряжений

## Лабораторная работа № 1

Нахождение напряжений для консоли-балки. Использование системы аналитических преобразований Maple

Рассматривается консоль-балка (см. рис. 1) длиной  $m$ , имеющая прямоугольное сечение высотой  $h$  и толщиной  $1$ . Данная задача является математической моделью для расчета подпорной стенки прямоугольного профиля, расчёта плотины прямоугольного профиля на гидростатическую нагрузку без учета объемных сил.

С помощью функции напряжений Эри

$$\varphi(x, y) = ax^3 + bx^2y + cxy^2 + dy^3,$$

данных из таблицы 1 выполнить следующие задания:

- 1) проверить, что предложенная функция Эри является решением бигармонического уравнения;
- 2) определить выражения для напряжений  $\sigma_x, \sigma_y, \tau_{xy}$ ;
- 3) построить эпюры напряжений  $\sigma_x, \sigma_y, \tau_{xy}$  в сечениях  $x = x_0, y = y_0$ ;
- 4) найти и изобразить внешние силы, приложенные ко всем поверхностям консоли-балки;
- 5) проверить выполнение условий равновесия для найденных внешних сил.

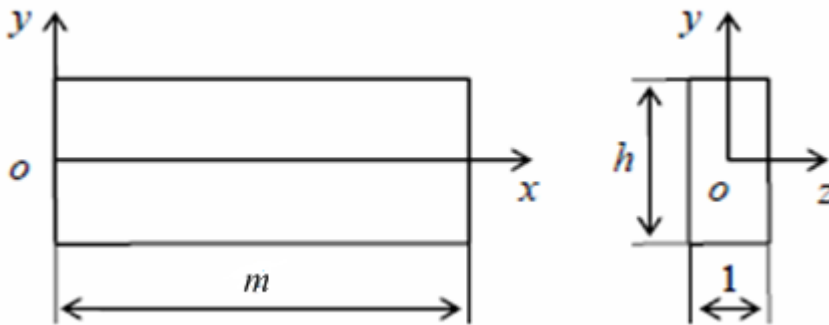


Рис. 1. Схема консоли-балки

Таблица 1

№ варианта	$a$	$b$	$c$	$d$	$h$	$m$	$x_0$	$y_0$
1	1	4	0	2	4	5	2	1
2	2	0	4	3	2	4	1	0.5
3	2	1	3	0	4	6	3	1.5
4	1	3	2	4	6	4	1	1
5	3	1	2	4	2	5	2	0.4
6	1	4	3	2	2	5	3	0.6
7	3	2	1	0	4	6	4	1.5
8	2	1	3	2	2	4	1	0.5
9	1	3	0	2	2	5	3	0.6
0	2	3	1	3	4	4	2	1.2

## Методические указания к лабораторной работе № 1

Предложенная функция напряжения  $\varphi(x, y) = ax^3 + bx^2y + cxy^2 + dy^3$  является решением плоской задачи теории упругости, если она удовлетворяет бигармоническому уравнению:

$$\frac{\partial^4 \varphi}{\partial y^4} + 2 \frac{\partial^4 \varphi}{\partial x^2 \partial y^2} + \frac{\partial^4 \varphi}{\partial x^4} = 0. \quad (15)$$

При этом дифференциальные уравнения равновесия в напряжениях выполняются автоматически.

Выражения для напряжений через функцию Эри находятся по формулам (12), предполагается, что объёмные силы равны нулю:

$$\begin{aligned} \sigma_x &= \frac{\partial^2 \varphi}{\partial y^2}; \\ \sigma_y &= \frac{\partial^2 \varphi}{\partial x^2}; \\ \tau_{xy} &= -\frac{\partial^2 \varphi}{\partial x \partial y}; \end{aligned}$$

Внешние силы, приложенные к поверхности консоли с нормалью  $\bar{n}$ , определяются по формулам:

$$\begin{aligned} P_{xn} &= \sigma_x n_x + \tau_{xy} n_y; \\ P_{yn} &= \tau_{yx} n_x + \sigma_x n_y; \\ |\bar{n}| &= 1, \bar{n} = (n_x, n_y) \end{aligned} \quad (16)$$

$\bar{n} = (n_x, n_y)$  – направляющие косинусы единичного вектора нормали. Для проверки найденных внешних сил используются условия статического равновесия консоли-балки:

$$\sum_i X_i = 0; \quad \sum_i Y_i = 0; \quad \sum_i M_i = 0; \quad (17)$$

Используем в качестве функции Эри тестовый вариант:

$$a = 3, \quad b = 4, \quad c = 2, \quad d = 5; \quad m = 4, \quad h = 2, \quad x_0 = 2, \quad y_0 = 0.5;$$

$$\varphi(x, y) = 3x^3 + 4x^2y + 2xy^2 + 5y^3.$$

1). Найдем частные производные функции Эри и подставим их в бигармоническое уравнение:

$$\begin{aligned} \frac{\partial \varphi}{\partial x} &= 9x^2 + 8xy + 2y^2; \quad \frac{\partial \varphi}{\partial y} = 4x^2 + 4xy + 15y^2; \\ \frac{\partial^2 \varphi}{\partial x^2} &= \frac{\partial}{\partial x} (9x^2 + 8xy + 2y^2) = 18x + 8y; \end{aligned}$$

$$\frac{\partial^2 \varphi}{\partial y^2} = \frac{\partial}{\partial y} (4x^2 + 4xy + 15y^2) = 4x + 30y;$$

$$\frac{\partial^3 \varphi}{\partial x^3} = 18; \frac{\partial^4 \varphi}{\partial x^4} = 0; \frac{\partial^3 \varphi}{\partial y^3} = 30; \frac{\partial^4 \varphi}{\partial y^4} = 0;$$

$$\frac{\partial^3 \varphi}{\partial y \partial x^2} = 8; \frac{\partial^4 \varphi}{\partial y^2 \partial x^2} = 0; \Rightarrow \nabla^4 \varphi = \nabla \left( \frac{\partial^2 \varphi}{\partial x^2} + \frac{\partial^2 \varphi}{\partial y^2} \right) = 0.$$

Убедились, что выбранная функция Эри удовлетворяет уравнению  $\nabla^4 \varphi = 0$  и является функцией бигармонической.

Здесь дифференциальный оператор  $\nabla^4$  является бигармоническим и имеет выражение:

$$\nabla^4 \dots = \frac{\partial^4 \dots}{\partial y^4} + 2 \frac{\partial^4 \dots}{\partial x^2 \partial y^2} + \frac{\partial^4 \dots}{\partial x^4}$$

2). По заданной функции Эри найдем выражение для напряжений:

$$\begin{cases} \sigma_x = \frac{\partial^2 \varphi}{\partial y^2} = 4x + 30y, \\ \sigma_y = \frac{\partial^2 \varphi}{\partial x^2} = 18x + 8y, \\ \tau_{xy} = -\frac{\partial^2 \varphi}{\partial x \partial y} = -8x - 4y. \end{cases} \quad (18)$$

3) Построим эпюры напряжений  $\sigma_x, \sigma_y, \tau_{xy}$  в сечениях  $x = x_0 = 2, y = y_0 = 0.5$ .

Положим в выражении для напряжений  $x_0 = 2$

$$\begin{cases} \sigma_x = 4x + 30y, \sigma_x = 8 + 30y, \\ \sigma_y = 18x + 8y, \sigma_y = 36 + 8y, \\ \tau_{xy} = -8x - 4y, \tau_{xy} = -16 - 2y. \end{cases}$$

По найденным выражением для напряжений при  $y \in [-h/2, h/2] = [-1, 1]$  и построим их эпюры:

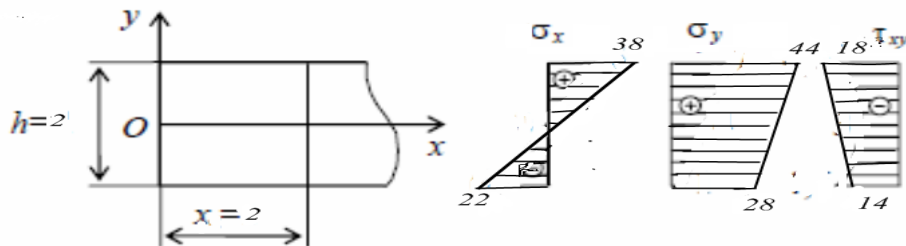


Рис. 2. Эпюры напряжения для консоли-балки

Положим в выражении для напряжений  $y_0 = 0.5$

$$\begin{cases} \sigma_x = 4x + 30y, \sigma_x = 4x + 15, \\ \sigma_y = 18x + 8y, \sigma_y = 18x + 4, \\ \tau_{xy} = -8x - 4y, \tau_{xy} = -8x - 2. \end{cases}$$

По найденным выражением для напряжений при  $x \in [0, m] = [0, 4]$  и построим их эпюры, аналогично рис. 2.

4) Определим внешние силы, приложенные к поверхностям консоли.

Для верхней грани подставим в формулы (16), (18) значение  $y = h/2 = 1$ .

$$\begin{cases} \sigma_x = 4x + 30, \\ \sigma_y = 18x + 8, \\ \tau_{xy} = -8x - 4. \end{cases}$$

При этом  $n_x = 0, n_y = 1$  и из формул (17) имеем:

$$P_{x1} = \sigma_x \cdot 0 + \tau_{xy} \cdot 1;$$

$$P_{y1} = \tau_{yx} \cdot 0 + \sigma_y \cdot 1;$$

$$P_{x1} = -8x - 4; \quad P_{y1} = 18x + 8.$$

Для сил  $P_{y1}$ , нормальных к верхней грани и касательных к ней сил  $P_{x1}$  строим эпюры, изменяя  $x$  от 0 до 4.

Для нижней грани подставим в формулы (5) значение  $y = -h/2 = -1$ .

$$\begin{cases} \sigma_x = 4x - 30, \\ \sigma_y = 18x - 8, \\ \tau_{xy} = -8x + 4. \end{cases}$$

При этом  $n_x = 0, n_y = -1$  и из формул (17) имеем:

$$P_{x2} = \sigma_x \cdot 0 - \tau_{xy} \cdot 1;$$

$$P_{y2} = \tau_{yx} \cdot 0 - \sigma_y \cdot 1;$$

$$P_{x2} = 8x - 4; \quad P_{y2} = -18x + 8.$$

Для сил  $P_{y2}$ , нормальных к нижней грани и касательных к ней сил  $P_{x2}$  строим эпюры, изменяя  $x$  от 0 до 4.

Для левой грани подставим в формулы (18) значение  $x = 0$ .

$$\begin{cases} \sigma_x = 30y, \\ \sigma_y = 8y, \\ \tau_{xy} = -4y. \end{cases}$$

При этом  $n_x = -1, n_y = 0$  и из формул (16) имеем:

$$P_{x3} = \sigma_x \cdot (-1) + \tau_{xy} \cdot 0;$$

$$P_{y3} = \tau_{yx} \cdot (-1) + \sigma_y \cdot 0;$$

$$P_{x3} = -30y; \quad P_{y3} = 4y.$$

Для сил  $P_{y3}$ , касательных к левой грани и нормальных к ней сил  $P_{x3}$  строим эпюры, изменяя  $y$  от -1 до 1.

Для правой грани подставим в формулы (18) значение  $x = m = 4$ .

$$\begin{cases} \sigma_x = 16 + 30y, \\ \sigma_y = 72 + 8y, \\ \tau_{xy} = -32 - 4y. \end{cases}$$

При этом  $n_x = 1, n_y = 0$  и из формул (3) имеем:

$$P_{x4} = \sigma_x \cdot 1 + \tau_{xy} \cdot 0;$$

$$P_{y4} = \tau_{yx} \cdot 1 + \sigma_y \cdot 0;$$

$$P_{x4} = 16 + 30y; \quad P_{y4} = -32 - 4y.$$

Для сил  $P_{y4}$ , касательных к левой грани и нормальных к ней сил  $P_{x4}$  строим эпюры, изменяя  $y$  от -1 до 1.

5) Проверим условия равновесия консоли-балки под действием внешних сил (17):

$$\begin{aligned} \sum_i X_i &= \int_0^4 (P_{x1} + P_{x2}) dx + \int_{-1}^1 (P_{x3} + P_{x4}) dy; \\ \sum_i X_i &= \int_0^4 (-8x - 4 + 8x - 4) dx + \int_{-1}^1 (-30y + 16 + 30y) dy = \\ &= -8 \int_0^4 dx + 16 \int_{-1}^1 dy = -32 + 32 = 0; \end{aligned}$$

$$\begin{aligned} \sum_i Y_i &= \int_0^4 (P_{y1} + P_{y2}) dx + \int_{-1}^1 (P_{y3} + P_{y4}) dy; \\ \sum_i Y_i &= \int_0^4 (18x + 8 - 18x + 8) dx + \int_{-1}^1 (4y - 32 - 40y) dy = \\ &= 16 \int_0^4 dx - 32 \int_{-1}^1 dy = 64 - 64 = 0; \end{aligned}$$

$$\sum_i M_i = \int_0^m ((P_{x1} - P_{x2}) \frac{h}{2} - (P_{y1} + P_{y2}) x) dx + \int_{-h/2}^{h/2} ((P_{x3} + P_{x4}) y + P_{y3} \cdot 0 - P_{y4} \cdot m) dy;$$

$$\begin{aligned} \sum_i M_i &= \int_0^4 ((-8x - 4 - 8x + 4) - (18x + 8 + -18x + 8)x) dx + \\ &+ \int_{-1}^1 ((-30y + 16 + 30y)y + (32 + 4y) \cdot 4) dy; \end{aligned}$$

$$\sum_i M_i = \int_0^4 (-16x - 16x) dx + \int_{-1}^1 (16y + 128 + 16y) dy;$$

$$\sum_i M_i = -32 \int_0^4 x dx + 32 \int_{-1}^1 (y + 4) dy = -32 \cdot 8 - 32 \cdot 4 \cdot 2 = 0.$$

Вывод: предложенная функция может быть выбрана в качестве функции Эри. Уравнения равновесия выполнены.

### Выполнение лабораторной работы № 1 с помощью системы аналитических вычислений Maple

Ниже приведен листинг программы, реализующей описанные выше вычисления и преобразования.

Решение плоской задачи теории упругости

> **restart;**

Задание функции Эри

> **f := (x, y) -> 3\*x^3 + 4\*x^2\*y + 2\*x\*y^2 + 5\*y^3;**  
 $f := (x, y) \rightarrow 3x^3 + 4x^2y + 2xy^2 + 5y^3$

Проверка удовлетворения функции бигармоническому уравнению

> **d2x := diff (f (x, y) , x, x) ;**  
 $d2x := 18x + 8y$

> **d2y := diff (f (x, y) , y, y) ;**  
 $d2y := 4x + 30y$

> **d2xy := diff (f (x, y) , x, y) ;**  
 $d2xy := 8x + 4y$

> **d4x := diff (f (x, y) , x, x, x, x) ;**  
 $d4x := 0$

> **d4y := diff (f (x, y) , y, y, y, y) ;**  
 $d4y := 0$

> **d4xy := diff (f (x, y) , x, x, y, y) ;**  
 $d4xy := 0$

Задание функций напряжений

> **sigmax := (x, y) -> 4\*x + 30\*y;**  
 $sigmax := (x, y) \rightarrow 4x + 30y$

> **sigmay := (x, y) -> 18\*x + 8\*y;**  
 $sigmay := (x, y) \rightarrow 18x + 8y$

> **tauxy := (x, y) -> -8\*x - 4\*y;**  
 $tauxy := (x, y) \rightarrow -8x - 4y$

Определение усилий, приложенных к внешним граням

Верхняя грань балки, следует положить  $y = 1; n(0;1);$

> **m := 4; h := 1;**  
 $m := 4$   
 $h := 1$

> **nx := 0; ny := 1;**

$nx := 0$

$ny := 1$

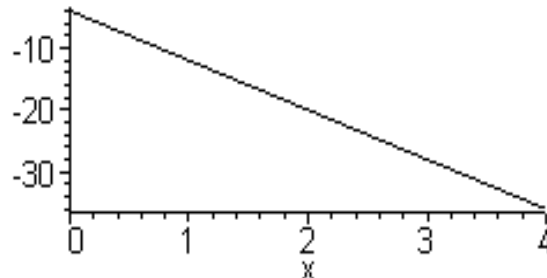
>  $Px1 := \sigma_{max}(x, h) * nx + \tau_{uxy}(x, h) * ny;$

$Px1 := -8x - 4$

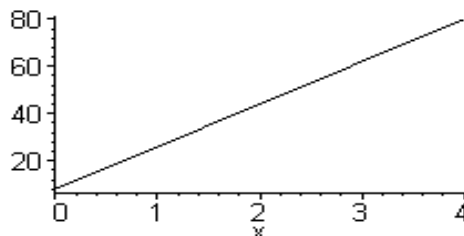
>  $Py1 := \tau_{uxy}(x, h) * nx + \sigma_{may}(x, h) * ny;$

$Py1 := 18x + 8$

>  $plot(Px1, x=0..4, colour=black);$



>  $plot(Py1, x=0..4, colour=black);$



Нижняя грань балки, следует положить  $y=-1; n(0,-1)$

>  $nx := 0; ny := -1;$

$nx := 0$

$ny := -1$

>  $Px2 := \sigma_{max}(x, -h) * nx + \tau_{uxy}(x, -h) * ny;$

$Px2 := 8x - 4$

>  $Py2 := \tau_{uxy}(x, -h) * nx + \sigma_{may}(x, -h) * ny;$

$Py2 := -18x + 8$

Левая грань балки, следует положить  $x=0; n(-1,0)$

>  $nx := -1; ny := 0;$

$nx := -1$

$ny := 0$

>  $Px3 := \sigma_{max}(0, y) * nx + \tau_{uxy}(0, y) * ny;$

$Px3 := -30y$

>  $Py3 := \tau_{uxy}(0, y) * nx + \sigma_{may}(0, y) * ny;$

$Py3 := 4y$

Правая грань балки, следует положить  $x=4; n(1,0)$

>  $nx := 1; ny := 0;$

$nx := 1$

$ny := 0$

>  $Px4 := \sigma_{max}(m, y) * nx + \tau_{uxy}(m, y) * ny;$

$Px4 := 16 + 30y$

>  $Py4 := \tau_{uxy}(m, y) * nx + \sigma_{may}(m, y) * ny;$

$Py4 := -32 - 4y$

Проверка выполнения условия равновесия



Проекция сил на горизонтальную ось

```
> X:=int(Px1+Px2,x=0..m)+int(Px3+Px4,y=-h..h);  
X:=0
```

Проекция сил на вертикальную ось

```
> Y:=int(Py1+Py2,x=0..m)+int(Py3+Py4,y=-h..h);  
Y:=0
```

Момент сил относительно начала координат

```
> Mo:=int((Px1-Px2)*h-  
(Py1+Py2)*x,x=0..m)+int((Px3+Px4)*y+Py1*0-Py4*m,y=-h..h);  
Mo:=0
```

## Лабораторная работа № 2

Исследование плоского напряженно-деформированного состояния  
Упругий квадратного сечения находится под действием сил, создающих  
плоское напряженное состояние (рис. 3).

Требуется найти в соответствии:

- 1) главные напряжения и направления главных площадок;
- 2) максимальные касательные напряжения;
- 3) относительные деформации  $\varepsilon_{xx}, \varepsilon_{yy}, \varepsilon_{xy}$ ;
- 4) относительное изменение объема;
- 5) удельную потенциальную энергию деформации.

Исходные данные вариантов представлены в таблице 2.

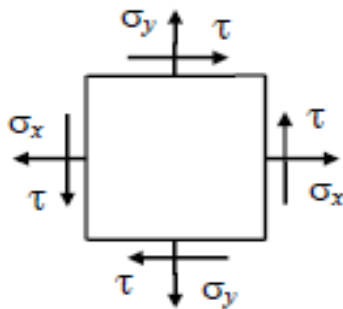


Рис. 3. Нормальное сечение бруса

Таблица 2

Исходные данные к лабораторной работе 2

№ варианта	Материал бруса	$\sigma_x$ Мпа	$\sigma_y$ Мпа	$\tau_{xy}$ Мпа	$E$ Гпа	$\nu$
1	сталь	1	4	0	200	0.25
2	алюминий	2	0	4	70	0.32
3	медь	2	1	3	110	0.3
4	сталь	1	3	2	220	0.3
5	свинец	3	1	2	18	0.4
6	бронза	1	4	3	100	0.3
7	чугун	3	2	1	120	0.3
8	бетон	2	1	3	20	0.18
9	олово	1	3	0	35	0.35
0	титан	2	3	1	120	0.25

## Методические указания к выполнению лабораторной работы № 2

Исследуем напряженно-деформированное состояние медного бруса, модуль Юнга которого  $E = 2 \cdot 10^5$  Мпа, коэффициент Пуассона  $\nu = 0.25$ ,  $\sigma_x = 80$  Мпа,  $\sigma_y = 60$  Мпа,  $\tau_{xy} = -30$  Мпа.

Угол наклона главных площадок определяется формулой, которая дает два взаимно перпендикулярных направления:

$$\operatorname{tg} 2\alpha = \frac{2\tau_{xy}}{\sigma_x - \sigma_y}; \quad \operatorname{tg} 2\alpha = \frac{-60}{80 - 60}; \quad \operatorname{tg} 2\alpha = -3;$$

$$2\alpha \approx -71^\circ; \alpha_1 \approx -35.5^\circ \quad \alpha_2 \approx -125.5^\circ.$$

(Отрицательные углы отсчитываются по часовой стрелке).

Главные напряжения на площадке с углом наклона  $\alpha$  даются равенствами:

$$\sigma_\alpha = \sigma_x \cos^2 \alpha + \sigma_y \sin^2 \alpha + \tau_{xy} \sin 2\alpha.$$

Найти главные напряжения удобнее по формулам:

$$\sigma_{\max} = \frac{\sigma_x + \sigma_y}{2} + \sqrt{\left(\frac{\sigma_x - \sigma_y}{2}\right)^2 + \tau_{xy}^2};$$

$$\sigma_{\min} = \frac{\sigma_x + \sigma_y}{2} - \sqrt{\left(\frac{\sigma_x - \sigma_y}{2}\right)^2 + \tau_{xy}^2};$$

$$\sigma_{\max} = \frac{80 + 60}{2} + \sqrt{\left(\frac{80 - 60}{2}\right)^2 + (-30)^2} \approx 70 + 31.6 \approx 101.6,$$

$$\sigma_{\min} = \frac{80 + 60}{2} - \sqrt{\left(\frac{80 - 60}{2}\right)^2 + (-30)^2} \approx 70 - 31.6 \approx 38.4$$

Деформации  $\varepsilon_x, \varepsilon_y, \varepsilon_{xy}$  вычислим по формулам обобщенного закона Гука:

$$\sigma_z = 0;$$

$$\varepsilon_x = \frac{1}{E}(\sigma_x - \nu\sigma_y); \quad \varepsilon_x = 0.5 \cdot 10^{-5}(80 - 0.25 \cdot 60) = 0.325 \cdot 10^{-3} \text{ (Мià)},$$

$$\varepsilon_y = \frac{1}{E}(\sigma_y - \nu\sigma_x); \quad \varepsilon_y = 0.5 \cdot 10^{-5}(60 - 0.25 \cdot 80) = 0.2 \cdot 10^{-3} \text{ (Мià)},$$

$$\varepsilon_{xy} = -\frac{\nu}{E}(\sigma_x + \sigma_y); \quad \varepsilon_{xy} = -0.5 \cdot 0.25 \cdot 10^{-5}(80 + 60) = -0.175 \cdot 10^{-3} \text{ (Мià)},$$

Здесь  $E$  – модуль Юнга,  $\nu$  – коэффициент Пуассона (поперечной деформации).

Относительное изменение объема:

$$\vartheta = \varepsilon_x + \varepsilon_y + \varepsilon_z;$$

$$\vartheta = 0.325 \cdot 10^{-3} + 0.2 \cdot 10^{-3} - 0.175 \cdot 10^{-3} = 0.35 \cdot 10^{-3}.$$

Удельная потенциальная энергия деформации

$$U = \frac{1}{2E} (\sigma_{\max}^2 + \sigma_{\min}^2 - 2\nu\sigma_{\max}\sigma_{\min});$$

$$U = \frac{1}{2E} (101.6^2 + 38.4^2 - 2 \cdot 0.25 \cdot 101.6 \cdot 38.4) = 2.4626 \cdot 10^{-2} \text{ (МПа)}.$$

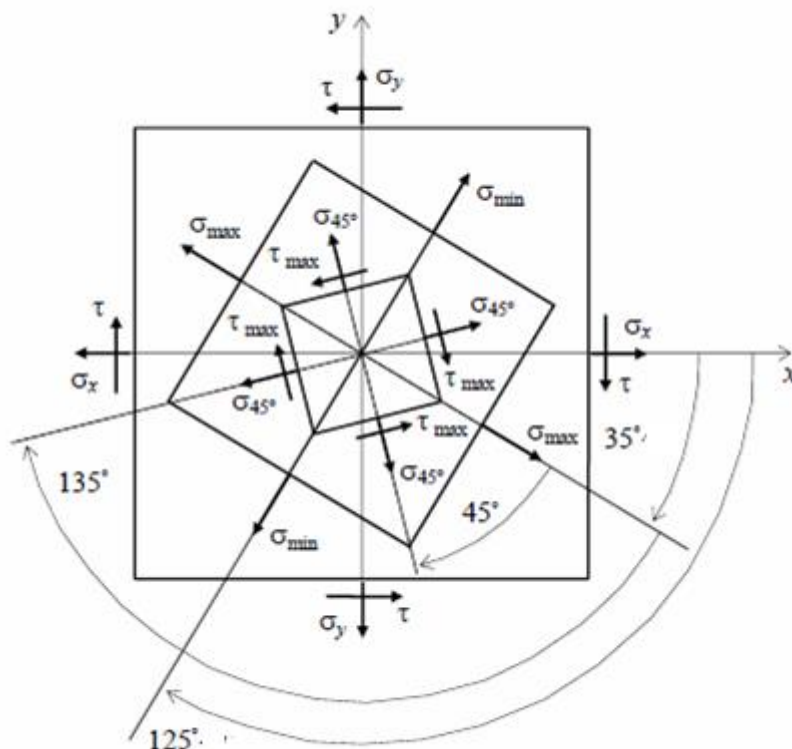


Рис. 4. Поперечное сечение упругого бруса, площадки главных напряжений, площадки экстремальных касательных напряжений

### Библиографический список

- 1 Александров, А.В. Основы теории упругости и пластичности / А.В. Александров, В.Д. Потапов. – М.: Высшая школа, 1990. – 400 с.
- 2 Васильев, В.З. Основы и некоторые специальные задачи теории упругости : монография / В.З. Васильев. – М.: Учеб.-метод. центр по образованию на ж.-д. трансп., 2012. – 215 с.
- 3 Кац, А.М. Теория упругости : учебник для вузов / А.М. Кац. – М.: Высшая школа, 2002. – 208 с.
- 4 Киселев, В.А. Плоская задача теории упругости / В.А. Киселев – М.: Высшая школа, 1976. – 151 с.
- 5 Математическая энциклопедия. Т. 3 / под ред. И.М. Виноградова. – М.: Советская энциклопедия, 1982. – 1183 с.